

# بررسی اثر ضخامت لایه‌های نازک $\text{SnO}_2$ بسبلوری در حسگری گازهای $\text{O}_2$ و $\text{CO}_2$

مژگان مهدی زاده رخی و حسین عشقی

گروه فیزیک، دانشگاه صنعتی شاهرود

(دریافت مقاله: ۸۹/۱/۱۴ - پذیرش مقاله: ۸۹/۸/۴)

## چکیده

در این تحقیق سه نمونه از لایه‌های نازک اکسید قلع خالص را که به روش اسپری پایرولیزیز بر روی زیرلایه شیشه لایه نشانی شده اند مورد مطالعه قرار دادیم. اینها به عنوان حسگر گازهای اکسیژن و دی اکسیدکربن استفاده می‌شوند. طیف عبوری لایه‌ها حاکی از نازکی لایه‌ها در محدوده نانومتری (۱۵۰-۲۰۰ nm)، و طیف XRD نشانگر تغییر سمتگیری بسبلوری از (۲۰۰) به (۱۱۰) می‌باشد که این تغییر سمتگیری بلواری به دلیل تغییر ضخامت لایه‌ها می‌باشد. همچنین ابعاد بلوارکها از ۳۱ تا ۲۲/۵ نانومتر کاهش یافته است. حساسیت نمونه‌ها نسبت به ۲۰۰ ppm از این گازها نشان داد که دمای بهینه کاری در این نمونه‌ها برای گاز اکسیژن و دی اکسیدکربن به ترتیب  $170^{\circ}\text{C}$  و  $180^{\circ}\text{C}$  می‌باشد. علاوه بر این دریافتیم نمونه با پایین ترین ضخامت (۱۵۰ nm) که از کوچکترین ابعاد بلوارکی (۲۲/۵ nm) برخوردار بوده و سمتگیری ترجیحی در آن (۱۱۰) است و حساسیت آن برای گاز اکسیژن بیشتر از دی اکسید کربن است.

**واژه‌های کلیدی:** لایه‌های نازک، اکسید قلع، اسپری پایرولیزیز، حسگر گاز، اکسیژن، دی اکسیدکربن.

## $\text{O}_2$ and $\text{CO}_2$ gas sensing by pure $\text{SnO}_2$ polycrystalline thin films

M. Mahdizadeh Rokhi and H. Eshghi  
Physics Department, Shahrood University of Technology

### Abstract

In this research we have studied three samples of pure  $\text{SnO}_2$  thin films which are deposited by spray pyrolysis method on glass substrate. Oxygen and carbondioxide gas sensor were employed. The transmittance spectra of the samples showed that the thickness of the layers were within the nanometer scales (200-150 nm), and XRD spectra showed that as the samples become thinner the preference orientation varies from (200) to (110). The this variation of orientations was due to the variation of their thicknesses. Also crystallites sizes were decreased from 31 to 22.5 nm. The sensitivity of the samples to 2000 ppm of these gases showed that the optimum operational temperature in these samples was about  $170^{\circ}\text{C}$  and  $180^{\circ}\text{C}$  for oxygen and carbondioxide respectively. In addition we found that the sample with lowest thickness (150 nm) and crystallite sizes (~22.5 nm) with preferential orientation of (110) had more sensitivity to  $\text{O}_2$  compare to  $\text{CO}_2$  gas.

**Keywords:** Thin Films, Tin Oxide, Spray Pyrolysis, Gas Sensor, Oxygen, Carbon Dioxide.

**E-mail of corresponding author:** Mahdizadeh.mozhgan@gmail.com

## مقدمه

آزاد می‌توانند در جذب گازهای محیط اطراف خود فعالانه شرکت کنند. بسته به تحول پس از پیوند مولکولهای جذب شده (دریافت و یا تحویل الکترون آزاد به ماده) این امکان وجود دارد که مقاومت الکتریکی لایه تغییر یابد [۵]. هدف ما در این مقاله بررسی اثر تغییر ضخامت لایه نازک  $\text{SnO}_2$  در حسگری گازهای اکسیژن و دی‌اکسیدکربن است که بدین منظور با کاهش حجم محلول اولیه برای اسپری (حجم‌های اولیه ۵۰، ۲۵ و ۱۵ میلی‌لیتر) توانستیم ضخامت لایه‌ها را کاهش دهیم و همچنین قابل ذکر است که این نمونه‌ها در دما و زیرلایه یکسانی به روش اسپری پایرولیزیز لایه‌نشانی شده‌اند.

## روش تحقیق

لایه‌های نازک  $\text{SnO}_2$  به روش شیمیایی اسپری پایرولیزیز Spray Coating System (S. S-86) روی زیرلایه شیشه لایه‌نشانی شدند. در انجام این کار از محلول ۰/۱ مولار  $\text{SnCl}_4$  مایع با خلوص ۹۹/۹ (Merck-7810)، آب مقطر خالص با خلوص ۹۹/۹۹ (Merck-115333) و از اتانول خالص با میزان خلوص ۹۹/۹۸ (Merck-100986) به عنوان حلال در تهیه محلول اولیه برای لایه‌نشانی استفاده کردیم. برای بدست آوردن نمونه‌هایی با ضخامت‌های مختلف (به ترتیب نمونه‌های شماره ۱، ۲ و ۳) از محلول اولیه با حجم‌های ۵۰، ۲۵ و ۱۵ cc استفاده شد. در این آزمایشها دمای زیرلایه  $420^{\circ}\text{C}$ ، آهنگ شارش محلول در تمام مراحل ۱۰ میلی‌لیتر بر دقیقه، فشار گاز حامل ۲/۵ bar و ارتفاع نازل تا بستر ۴۵ cm اختیار شده است. طیف عبوری نمونه‌ها به منظور تعیین ضخامت لایه‌ها توسط دستگاه اسپکتروفوتومتر و الگوی پراش پرتو ایکس  $\text{CuK}\alpha$  با طول موج  $154\text{ nm}$  برای بررسی ساختار لایه‌ها و یافتن اندازه بلورکها استفاده شده است. برای تعیین حساسیت نمونه‌ها به گاز مورد نظر از سیستمی که طرح شماتیک آن در شکل ۱ آمده است استفاده کردیم. این سیستم با الگو گرفتن از سیستم‌های معرفی شده در مقالات علمی معتبر (ISI)، توسط خودمان در آزمایشگاه حالت جامد

دی‌اکسید قلع به خاطر دارا بودن ویژگی‌هایی از قبیل مقاومت الکتریکی پایین، شفافیت بالا در محدوده طول موج‌های کوتاه‌تر، پایداری شیمیایی بالا در محیط چو و داشتن گاف نواری مستقیم، یکی از مواد نیمرسانای مهم بشمار می‌رود.  $\text{SnO}_2$  یک نیمرسانای نوع n است که به شکل‌های مختلفی در محدوده وسیعی از کاربردهای مهم از جمله حسگرهای گاز جالت جامد، نمایشگرهای کریستال مایع، سلول‌های فتوولتاوی و الکترودهای رسانا استفاده می‌شود. این ماده به دلیل داشتن حساسیت بالا نسبت به گازهای مختلف، پایداری بالا و ارزان بودن در مقایسه با دیگر مواد نیمرسانا کاندید خوبی برای چنین کاربردهایی محسوب می‌شود [۱]. همچنین بعد از آنکه در سال ۱۹۶۲ تلاش‌های زیادی توسط سیاما و همکارانش و نیز تاگوچی برای آشکارسازی آلاینده‌های سمی مختلف و گازهای قابل اشتعال توسط نیمرساناهای اکسید فلزی  $\text{ZnO}$  و  $\text{SnO}_2$  انجام شد، این اکسیدهای نیمرسانا به طور گستردگی به عنوان حسگر گاز مورد استفاده قرار گرفتند [۲]. حسگرهای اکسیژن بیشتر برای کترل فرآیندهای سوختی (نسبت هوا به سوخت) در موتور اتومبیل و در کوره‌های حرارتی صنعتی، برای آشکارسازی گازهای موردنظر در محیط‌هایی مانند معادن زیرزمینی، میدانهای نفتی و جلوگیری از نشت گازهای سمی استفاده می‌شوند [۳]. حسگر گاز دی‌اکسیدکربن نیز برای کاربرد در آشکارسازی گازهای گلخانه‌ای توجه زیادی را به خود جلب کرده است. این نوع از حسگرهای همچنین برای اطمینان از کیفیت دی‌اکسیدکربن استفاده شده در نوشیدنی‌ها، آب‌های معدنی و آبجو مطابق با تکنولوژی انجمن بین‌المللی نوشیدنی‌ها استفاده می‌شوند [۴]. امروزه بیشتر قطعات حسگرهای گازی مبتنی بر نیمرساناهای  $\text{WO}_3$ ،  $\text{TiO}_2$ ،  $\text{ZnO}$ ،  $\text{SnO}_2$ ، نظریه اکسید فلزی بسیلوری هستند. این لایه‌های نیمرسانا بیشتر از تراکم بالایی از تهیجاًهای اکسیژن در شبکه بلوری در داخل و پیوندهای آزاد<sup>۱</sup> در سطح خارجی خود برخوردارند. وجود این قبیل پیوندهای

<sup>۱</sup> Dangling bounds

بسیلور با ساختار tetragonal rutile رشد یافته‌اند. چنانچه مشاهده می‌شود با کاهش حجم محلول اسپری شده جهت‌گیری بلوری غالب از صفحات (۲۰۰) به (۱۱۰) تغییر می‌کند. از آنجایی که کاهش حجم محلول به کاهش ضخامت لایه‌ها منجر می‌شود [۶] و طبق نتایج گزارش شده توسط کروتچنکوف و همکارانش [۷] تغییر ضخامت لایه‌ها با تغییر جهت‌گیری بلوری همراه است، لذا تغییر جهت‌گیری غالب بلوری در این نمونه‌ها، منطقی به نظر می‌رسد. همچنین کاهش ضخامت به کاهش اندازه بلورکی در لایه منجر می‌شود که این دو عامل (ضخامت کم و اندازه بلورکی کوچک) فاکتورهای مهمی در افزایش پارامتر حساسیت نسبت به گاز هستند [۸ و ۹]. در این نمونه‌های با ساختار بسیلوری ابعاد میانگین این بلورکها می‌توانند به عنوان معیاری از سطح تماس مؤثر و در نتیجه فراوانی حالت‌های سطحی در شناخت رفتار حسگری کمک کنند.

برای تعیین ابعاد بلورکها (D) از فرمول شرر به صورت [۱۰]:

$$D = \frac{0.9\lambda}{B \cos \theta} \quad (2)$$

استفاده می‌شود. که در آن  $\theta$  زاویه پراش برآگ، B تمام پهنا در نیمه ماکزیمم و  $\lambda$  طول موج پرتو X است. نتایج مربوط به این محاسبات در ستون دوم جدول ۱ آمده است. چنانچه مشاهده می‌شود همانطور که انتظار داشتیم با کاهش حجم محلول اسپری، اندازه بلورکها کاهش یافته‌اند.

علاوه بر تغییر سمتگیری بلوری و اندازه بلورکها با تغییر حجم محلول اولیه، انتظار می‌رود ضخامت لایه‌ها نیز تغییر کند. برای یافتن این کمیت از طیف عبوری اپتیکی لایه‌ها استفاده کردہ‌ایم. شکل ۳ طیف عبوری نمونه‌ها را بر حسب طول موج (در گستره ۳۰۰ تا ۸۰۰ nm) نشان می‌دهد.

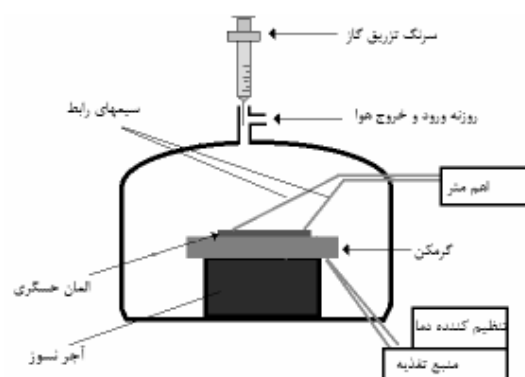
حضور بیشینه و کمینه‌های تداخلی نشان دهنده یکنواختی لایه رشد یافته می‌باشد [۱۱] و دیده می‌شود که با کاهش حجم محلول اسپری این ماکزیمم و مینیمم‌ها در نمونه بدست آمده از ۱۵ cc محلول اولیه کاهش یافته و در نتیجه سطحی نایکنواخت برای این نمونه انتظار داریم که برای کاربرد در حسگری مطلوب است چون لایه‌های ناهمگن‌تر و متخلخل‌تر

دانشگاه صنعتی شاهروд راه اندازی شد. برای تزریق گاز با حجمی معین، از سرنگ استفاده شده است. ضمن اینکه گاز از محفظه‌ای با فشار ثابت و برابر با فشار جو توسط سرنگ برداشته می‌شود. غلظت گاز تزریق شده به داخل محفظه را می‌توان بر حسب کسر مورد نظر در میلیون از رابطه (۱) به صورت

$$C_{ppm} = V_g \times 10^6 / (V_g + V_{air}) \quad (1)$$

بدست آورده که در آن  $V_g$  حجم گاز تزریق شده و  $V_{air}$  حجم محفظه هوا در فشار آتمسفر می‌باشد.

روش کار برای اندازه‌گیری حساسیت نمونه‌ها بدین صورت است که ابتدا باید عنصر حسگر (لایه نازک) توسط یک گرم‌کننده الکتریکی تا دمای کاری تعیین شده (که این دمای کاری نیز با آزمایش تعیین می‌شود) گرم شود پس از تشییت دما با تزریق گاز و اندازه‌گیری تغییر مقاومت الکتریکی نمونه لایه نازک (اختلاف مقاومت الکتریکی لایه قبل و بعد از حضور گاز) مطابق فرمول ارایه شده در رابطه (۲) می‌توان حساسیت نمونه را بدست آورد. لازم به ذکر است که دمای این گرم‌کن با دقت  $1^\circ\text{C}$  تعیین می‌شود. مقاومت الکتریکی نیز با دقت یک ده هزارم اهم سنجیده می‌شود.



شکل ۱. نمایی شماتیک از سیستم حسگری استفاده شده در آزمایشگاه حالت جامد دانشگاه صنعتی شاهروド.

## نتایج و بحث

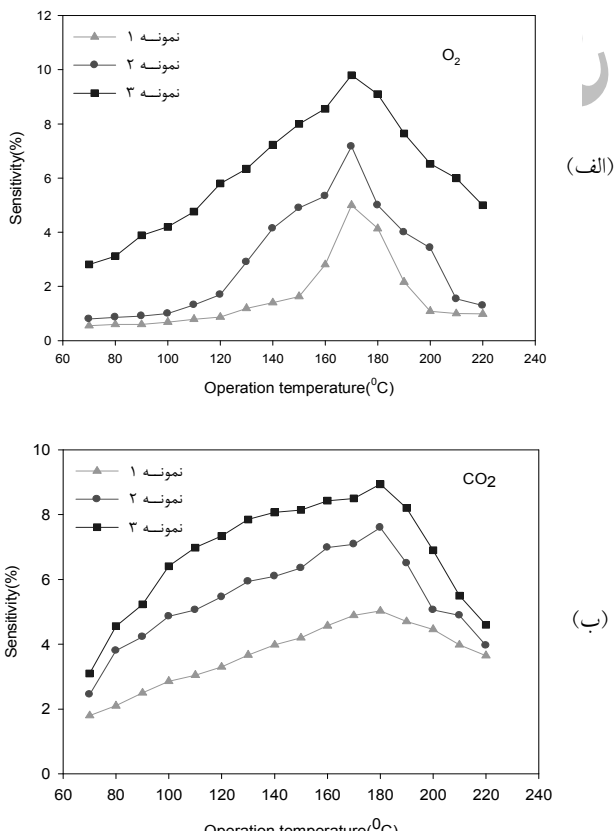
شکل ۲ طیف پراش پرتو ایکس نمونه‌های مورد بررسی ما را که با حجم‌های مختلف محلول انجام شده است را نشان می‌دهد. این داده‌ها نشان‌گر آنست که لایه‌ها به صورت

### بررسی رفتار حسگری نمونه‌ها

حساسیت یک حسگر گازی به صورت زیر تعریف می‌شود:

$$S = (R_{\text{gas}} - R_{\text{air}}) / R_{\text{air}} \quad (3)$$

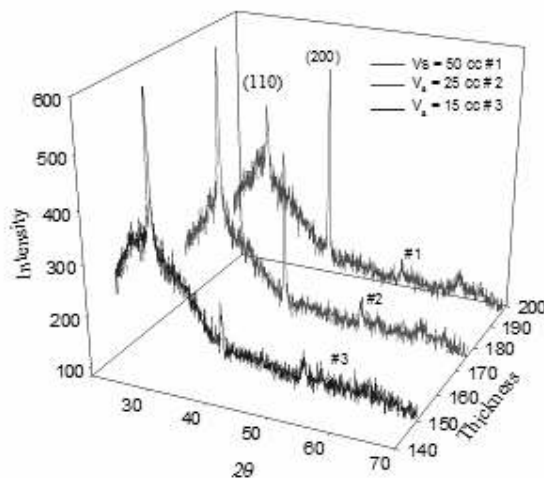
$R_{\text{gas}}$  مقاومت لایه در حضور گاز مورد نظر و  $R_{\text{air}}$  مقاومت لایه در حضور هوا در یک دمای کاری معین می‌باشد. شکل‌های ۴ (الف و ب) بترتیب رفتار حسگری نمونه‌ها را بازای ۲۰۰۰ ppm گاز اکسیژن و دی‌اکسید کربن بر حسب دمای کاری قطعه از ۷۰ °C تا ۲۲۰ °C نشان می‌دهد. چنانچه پیداست رفتار کلی نمونه‌ها برای این گازها مشابه یکدیگرند بنحوی که با افزایش دمای کار از ۷۰ °C تا ۱۷۰ °C برای گاز اکسیژن و از ۱۸۰ °C تا ۷۰ °C برای گاز دی‌اکسید کربن حساسیت رو به افزایش گذارد و در دماهای بالاتر تنزل می‌یابد. بنابراین دمای ۱۷۰ °C دمای بهینه حسگری برای گاز اکسیژن و دمای ۱۸۰ °C دمای بهینه حسگری گاز دی‌اکسید کربن در این نمونه‌ها محسوب می‌شوند.



شکل ۴. نمودار تغییرات حساسیت نمونه‌ها با تغییر دمای کاری

بازای ۲۰۰۰ ppm گاز (الف) اکسیژن و

(ب) دی‌اکسید کربن.

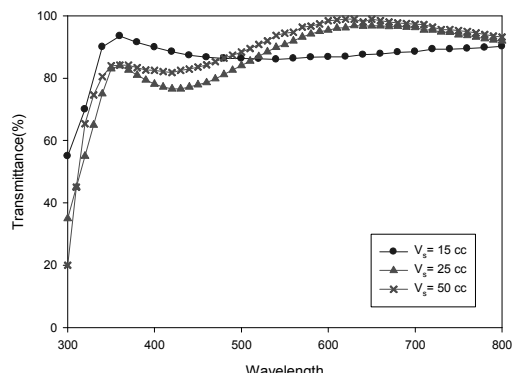


شکل ۲. طیف پراش پرتو X نمونه‌های مورد بررسی (۱ الی ۳) با حجم‌های مختلف محلول.

سطح تماس موثر بیشتری با گاز مورد نظر ایجاد می‌کند و حساسیت بهتری بدست می‌دهند. به کمک این داده‌ها و استفاده از نرم‌افزار PUMA ضخامت لایه‌ها را محاسبه کردیم که نتایج مربوطه در جدول ۱ آمده است. دیده می‌شود که ضخامت لایه‌ها حدود ۲۰۰ nm ۱ تا ۱۵۰ nm برای نمونه ۳ متغیر است.

جدول ۱. ویژگیهای ساختاری لایه‌های  $\text{SnO}_2$  با ضخامت‌های متفاوت

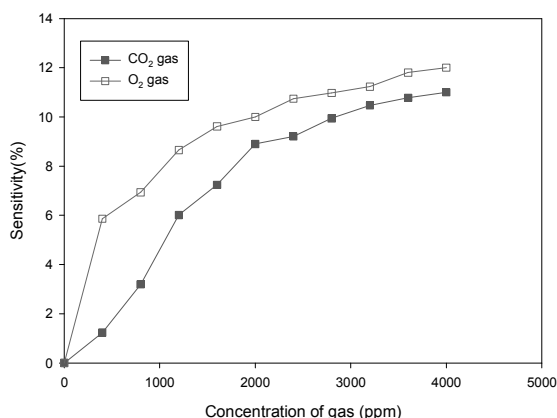
نمونه	اندازه بلورکها (D, nm)	ضخامت (nm)
۱	۳۱	۱۹۷
۲	۲۵	۱۷۶
۳	۲۲/۵	۱۵۰



شکل ۳. ضریب عبور به عنوان تابعی از طول موج نور عبوری دستگاه، برای نمونه‌های  $\text{SnO}_2$  خالص به ازای حجم‌های متفاوتی از محلول اولیه.

چنانچه ملاحظه می‌شود در هر دو مورد حسگری گازهای اکسیژن و دی‌اکسیدکربن نمونه ۳ (با ضخامت  $150\text{ nm}$ ) و جهتگیری بلوری ( $110^\circ$ ) از بیشترین حساسیت نسبت به حسگری این گازها برخوردار است.

شکل ۶ تغییرات حساسیت نمونه شماره ۳ را بر حسب غلاظت گازهای مورد نظر نشان می‌دهد. این داده‌ها بیانگر آنست که این قطعه در شرایط دمای بهینه کاری در برابر گاز اکسیژن از حساسیت بالاتری در مقایسه با گاز دی‌اکسیدکربن برخوردار است. این نتیجه را می‌توان به بزرگتر بودن مولکول گاز دی‌اکسیدکربن نسبت به مولکول گاز اکسیژن نسبت داد.



شکل ۶. مقایسه حساسیت نمونه ۳ برای غلاظتهای مختلف گاز اکسیژن و دی‌اکسیدکربن در دمای کاری بهینه حسگری هر گاز.

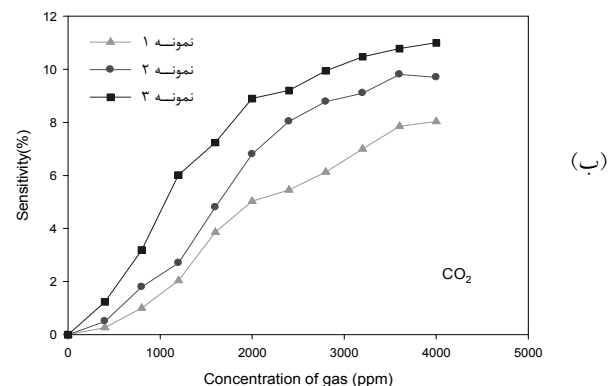
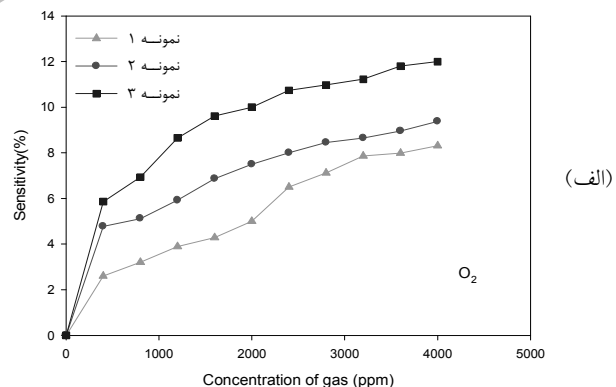
نتیجه گیری

نتایج بدست آمده از طیف XRD نمونه‌های ۱، ۲ و ۳ نشانگر تغییر سمتگیری ترجیحی این ساختارهای بسیلوری از ( $200^\circ$ ) به ( $110^\circ$ ) بوده، ضمن آنکه ابعاد بلورکهای تشکیل دهنده آنها بترتیب  $25$ ،  $31$  و  $22/5$  نانومتر است.

مطالعات تجربی این قطعات به منظور حسگری گازهای اکسیژن و دی‌اکسیدکربن در این نمونه‌ها حاکی از آنست که در هر دو مورد نمونه با کمترین ضخامت و کمترین ابعاد دانه‌های بلورکی که از بیشترین سطح تماس و در نتیجه بالاترین فراوانی حالتها سطحی (وابسته به تهیجاها) اکسیژن) برخوردار است در دمای کاری بهینه  $170^\circ\text{C}$  تا  $180^\circ\text{C}$  از بالاترین حساسیت برخوردار می‌باشد. علاوه بر

این داده‌ها در مقایسه با نتایج گزارش شده توسط پاتیل و همکارانش [۱۲] که دمای کاری  $200^\circ\text{C}$  را برای گاز اکسیژن و  $270^\circ\text{C}$  را برای گاز دی‌اکسیدکربن به عنوان دمای بهینه کاری بدست آورده‌اند، کاهش خوبی را نشان می‌دهد و مطلوب‌تر است.

همانطور که مشاهده می‌شود نمونه ۳ یا به عبارتی نمونه با کمترین ضخامت از بیشترین حساسیت در بین نمونه‌ها برخوردار است و با افزایش ضخامت در این نمونه‌ها حساسیت کاهش یافته است که با نتایج گزارش شده توسط دیگر محققان [۱۳] در توافق خوبی است. همچنین دیده می‌شود که با افزایش غلاظت گاز نخست حساسیت با شبیه نسبتاً تنید افزایش می‌یابد و در غلاظتهای بالاتر از  $3000\text{ ppm}$  روند تغییرات حساسیت قطعات کند می‌شود. این روند کاهش حساسیت در غلاظتهای بالا در حسگرهای گازی معمولاً به اشیاع حالتها سطحی نسبت داده می‌شود [۱۵].



شکل ۵. نمودار تغییرات حساسیت نمونه‌ها با تغییر غلاظت گاز اکسیژن با دمای کاری بهینه  $170^\circ\text{C}$  (الف) و دی‌اکسیدکربن با دمای کاری بهینه  $180^\circ\text{C}$  (ب).

## منابع

- این حساسیت این نمونه به گاز اکسیژن در شرایط اشباعی در حدود ۱۰ درصد بیش از حساسیت آن به گاز دی اکسید کربن است. همچنین اندازه‌گیری زمان پاسخ در این نمونه‌ها نشان داد که در دمای بهینه کاری، بهترین و کوتاهترین زمان پاسخ مربوط به نمونه شماره ۳ (نمونه با کمترین ضخامت و بیشترین حساسیت) می‌باشد که در حضور گاز اکسیژن ۱۱ ثانیه اندازه‌گیری شده است. همچنین زمان بازگشت در حدود ۲۰ ثانیه به طول انجامید. زمان پاسخ برای این نمونه در حضور گاز دی اکسید کربن ۱۶ ثانیه و زمان بازگشت ۳۰ ثانیه محاسبه شد.
1. Z.W. Chen, G. Liu, H.J. Zhang, G.J. Ding, Z. Jiao, M.H. Wu, C.H. Shek, C.M.L. Wu and J.K.L. Lai, *Insights into effects of annealing on microstructure from  $\text{SnO}_2$  thin films prepared by pulsed delivery*, Journal of Non-Crystalline Solids 355 (2009) 2647–2652.
  2. J. Aguilar-Leyva, A. Maldonado and M. de la L. Olvera, *Gas-sensing characteristics of undoped- $\text{SnO}_2$  thin films and  $\text{Ag}/\text{SnO}_2$  and  $\text{SnO}_2/\text{Ag}$  structures in a propane atmosphere*, Materials Characterization 58 (2007) 740–744.
  3. F. Chaabouni, M. Abaab and B. Rezig, *Metrological characteristics of  $\text{ZnO}$  oxygen sensor at room temperature*, Sensors and Actuators B, 100 (2004) 200–204.
  4. O. Lupon, L. Chow, S. Shishiyano, E. Monaico, T. Shishiyano, V. Sontea, B. Roldan Cuenya, A. Naitabdi, S. Park and A. Schulte, and *Nanostructured zinc oxide films synthesized by successive chemical solution deposition for gas sensor applications*, Materials Research Bulletin, 44(2009)63–69
  5. A. Tiburcio-Silver and A. Sánchez-Juárez,  *$\text{SnO}_2:\text{Ga}$  thin films as oxygen gas sensor*, Materials Science and Engineering B 110(2004)268–271.
  6. G. korotcenkov, V. Brinzari, J. Schwank, M. Dibattista and A. Vasiliev, *Peculiarities of  $\text{SnO}_2$  thin film deposition by spray pyrolysis for gas sensor application*, Sensors and Actuators B 77(2001)244- 252.
  7. G. Korotcenkov, S.D. Han, B.K. Cho and V. Brinzari, *Grain Size Effects in Sensor Response of Nanostructured  $\text{SnO}_2$ - and  $\text{In}_2\text{O}_3$ -Based Conductometric Thin Film Gas Sensor*, Critical Reviews in Solid State and Materials Sciences, 34(2009)1–17.
  8. G. Korotcenkov, M. DiBattista, J. Schwank and V. Brinzari, *Structural characterization of  $\text{SnO}_2$  gas sensing films deposited by spray pyrolysis*, Materials Science and Engineering B77 (2000) 33–39.
  9. G. Korotcenkov and B.K. Cho, *Thin film  $\text{SnO}_2$ -based gas sensors: Film thickness influence*, Sensors and Actuators B 142 (2009) 321–330.
  10. B. D. Cullity, *Elements of X-ray Diffractions*, Addison Wesley, London, (1978) p. 102.
  11. L. Shadia, J. Ikhmayies and R. N. Ahmad-Bitar, *Effect of Processing on the Electrical Properties of Spray-Deposited  $\text{SnO}_2:\text{F}$  Thin Films*, American Journal of Applied Science. 5(2008) 672-677.
  12. S. B. Patil, P.P. Patil and M. A. More, *Acetone vapour sensing characteristics of cobalt-doped  $\text{SnO}_2$  thin films*, Sensors and Actuators B 125 (2007) 126–130.
  13. G. Korotcenkov, I. Blinov, M. Ivanov and J.R. Stetter, *Ozone sensors on the base of  $\text{SnO}_2$  films deposited by spray pyrolysis*, Sensors and Actuators B, 120(2007)679–686.